

**PCT**ORGANISATION MONDIALE DE LA PROPRIÉTÉ INTELLECTUELLE  
Bureau international

DEMANDE INTERNATIONALE PUBLIÉE EN VERTU DU TRAITE DE COOPERATION EN MATIÈRE DE BREVETS (PCT)

(51) Classification internationale des brevets <sup>6</sup> : <b>H04M 9/08</b>	<b>A1</b>	(11) Numéro de publication internationale: <b>WO 98/47276</b> (43) Date de publication internationale: 22 octobre 1998 (22.10.98)
(21) Numéro de la demande internationale: <b>PCT/FR98/00757</b> (22) Date de dépôt international: 15 avril 1998 (15.04.98) (30) Données relatives à la priorité: 97/04682 16 avril 1997 (16.04.97) <b>FR</b> (71) Déposant (pour tous les Etats désignés sauf US): <b>FRANCE TELECOM [FR/FR]; 6, place d'Alleray, F-75015 Paris (FR).</b> (72) Inventeurs; et (75) Inventeurs/Déposants (US seulement): <b>GILLOIRE, André [FR/FR]; 7, rue Yann Péron, F-22300 Lannion (FR). TURBIN, Valérie [FR/FR]; 7, rue Mouxigné, F-22400 Lamballe (FR).</b> (74) Mandataires: <b>FRECHEDE, Michel etc.; Cabinet Plasseraud, 84, rue d'Amsterdam, F-75440 Paris Cedex 09 (FR).</b>		(81) Etats désignés: <b>JP, US, brevet européen (AT, BE, CH, CY, DE, DK, ES, FI, FR, GB, GR, IE, IT, LU, MC, NL, PT, SE).</b>  <b>Publiée</b> <i>Avec rapport de recherche internationale. Avant l'expiration du délai prévu pour la modification des revendications, sera republiée si des modifications sont reçues.</i>

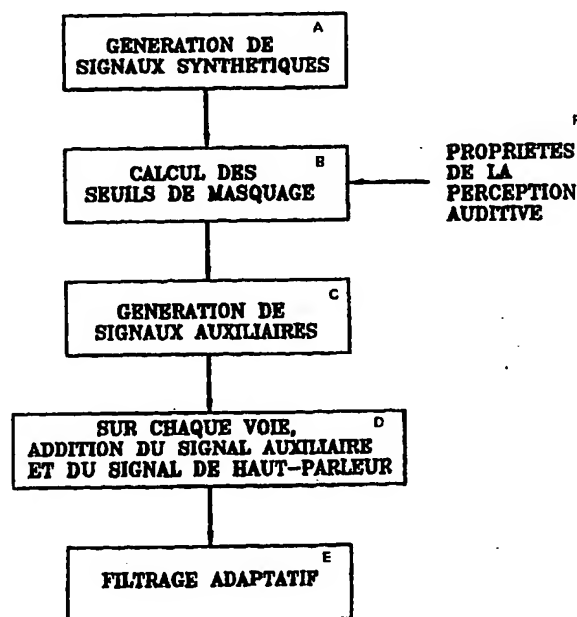
(54) Title: **METHOD FOR CANCELLING MULTICHANNEL ACOUSTIC ECHO AND MULTICHANNEL ACOUSTIC ECHO CANCELLER**(54) Titre: **PROCEDE D'ANNULATION D'ECHO ACOUSTIQUE MULTI-VOIES ET ANNULEUR D'ECHO ACOUSTIQUE MULTI-VOIES**

## (57) Abstract

In order to cancel echo on several sound signal channels, the method consists in generating on each channel a synthetic signal having the spectral characteristics of a white noise; computing the frequency masking thresholds in several adjacent frequency bands using auditory perception properties; bringing in each frequency channel the synthetic signal level to the associated masking threshold value, so as to obtain an auxiliary signal, which is added to the signal associated with the loudspeaker of the channel concerned; supplying the resulting signal to an adaptive filter; adding the output signals of the associated adaptive filters to each microphone channel; subtracting the resulting signal received by the microphone of this channel; deducing an estimation error, on the basis of which the coefficients of the adaptive filters associated with this channel are corrected.

## (57) Abrégé

Pour effectuer une annulation d'écho sur plusieurs voies de signal sonore, sur chaque voie, on engendre un signal synthétique ayant les caractéristiques spectrales d'un bruit blanc; on calcule des seuils de masquage fréquentiel dans plusieurs bandes de fréquence adjacentes, en utilisant des propriétés de la perception auditive; dans chaque bande de fréquence, on amène le niveau du signal synthétique à la valeur du seuil de masquage associé, de façon à obtenir un signal auxiliaire, qu'on additionne au signal associé au haut-parleur de la voie considérée; on fournit le signal obtenu à un filtre adaptatif; on additionne les signaux de sortie des filtres adaptatifs associés à chaque voie de microphone; on soustrait le signal résultant du signal reçu par le microphone de cette voie; on en déduit une erreur d'estimation, en fonction de laquelle on corrige les coefficients des filtres adaptatifs associés à cette voie.



A...GENERATING SYNTHETIC SIGNALS  
B...COMPUTING MASKING THRESHOLDS  
C...GENERATING AUXILIARY SIGNALS  
D...ON EACH CHANNEL, ADDING AUXILIARY SIGNAL AND LOUDSPEAKER SIGNAL  
E...ADAPTIVE FILTER  
F...AUDITORY PERCEPTION PROPERTIES

# **UNIQUEMENT A TITRE D'INFORMATION**

Codes utilisés pour identifier les Etats parties au PCT, sur les pages de couverture des brochures publiant des demandes internationales en vertu du PCT.

AL	Albanie	ES	Espagne	LS	Lesotho	SI	Slovénie
AM	Arménie	FI	Finlande	LT	Lituanie	SK	Slovaquie
AT	Autriche	FR	France	LU	Luxembourg	SN	Sénégal
AU	Australie	GA	Gabon	LV	Lettonie	SZ	Swaziland
AZ	Azerbaïdjan	GB	Royaume-Uni	MC	Monaco	TD	Tchad
BA	Bosnie-Herzégovine	GE	Géorgie	MD	République de Moldova	TG	Togo
BB	Barbade	GH	Ghana	MG	Madagascar	TJ	Tadjikistan
BE	Belgique	GN	Guinée	MK	Ex-République yougoslave de Macédoine	TM	Turkménistan
BF	Burkina Faso	GR	Grèce	ML	Mali	TR	Turquie
BG	Bulgarie	HU	Hongrie	MN	Mongolie	TT	Trinité-et-Tobago
BJ	Bénin	IE	Irlande	MR	Mauritanie	UA	Ukraine
BR	Bésil	IL	Israël	MW	Malawi	UG	Ouganda
BY	Bélarus	IS	Islande	MX	Mexique	US	Etats-Unis d'Amérique
CA	Canada	IT	Italie	NE	Niger	UZ	Ouzbékistan
CF	République centrafricaine	JP	Japon	NL	Pays-Bas	VN	Viet Nam
CG	Congo	KE	Kenya	NO	Norvège	YU	Yougoslavie
CH	Suisse	KG	Kirghizistan	NZ	Nouvelle-Zélande	ZW	Zimbabwe
CI	Côte d'Ivoire	KP	République populaire démocratique de Corée	PL	Pologne		
CM	Cameroun	KR	République de Corée	PT	Portugal		
CN	Chine	KZ	Kazakhstan	RO	Roumanie		
CU	Cuba	LC	Sainte-Lucie	RU	Fédération de Russie		
CZ	République tchèque	LI	Liechtenstein	SD	Soudan		
DE	Allemagne	LK	Sri Lanka	SE	Suède		
DK	Danemark	LR	Libéria	SG	Singapour		
EE	Estonie						

PROCEDE D'ANNULATION D'ECHO ACOUSTIQUE MULTI-VOIES ET  
ANNULEUR D'ECHO ACOUSTIQUE MULTI-VOIES

La présente invention concerne un procédé d'annulation d'écho acoustique multi-voies, ainsi qu'un annuleur d'écho acoustique multi-voies.

Dans le domaine de la transmission des signaux sonores, dans certaines applications telles que la téléphonie "mains libres" et la téléconférence, l'écho acoustique est une source de gêne considérable. Les dispositifs connus qui combattent l'écho acoustique comportent généralement des filtres adaptatifs, dont le rôle est d'identifier et de modéliser la réponse impulsionnelle du chemin de couplage acoustique entre le ou les haut-parleurs et le ou les microphones du système de transmission de signaux sonores considéré.

La figure 1 rappelle la structure générale d'un annuleur d'écho acoustique classique. Il est associé à un haut-parleur 10 et un microphone 12 entre lesquels il existe un chemin de couplage acoustique ou chemin d'écho 14. Les références 16 et 18 désignent respectivement le signal sonore reçu et le signal sonore émis. L'annuleur d'écho de la figure 1 comprend un filtre adaptatif 20 recevant en entrée le signal sonore reçu 16. L'objet du filtre adaptatif 20 est d'estimer par ses coefficients la réponse impulsionnelle du chemin d'écho 14, afin de soustraire l'écho du signal reçu par le microphone 12. Pour cela, la sortie du filtre adaptatif 20 est connectée à un soustracteur 22 qui soustrait le signal obtenu en sortie du filtre adaptatif 20 du signal reçu par le microphone 12. Le signal de différence obtenu en sortie du soustracteur 22 fournit une erreur d'estimation 24. Les coefficients du filtre adaptatif 20 sont ajustés au cours du temps par un algorithme approprié qui exploite l'information d'erreur d'estimation.

Le choix de cet algorithme conditionne de façon déterminante les performances de l'annuleur d'écho. Les

procédés et dispositifs d'annulation d'écho connus utilisent couramment un algorithme dit du gradient stochastique normalisé, habituellement désigné par le sigle NLMS. Un inconvénient de cet algorithme est que sa vitesse de convergence dépend des caractéristiques spectrales du signal sonore reçu. Un objectif de la présente invention est de réduire cette dépendance.

Le problème de l'écho acoustique se pose bien sûr également dans les systèmes multi-voies de transmission de signaux sonores, c'est-à-dire dans les systèmes à plusieurs haut-parleurs et plusieurs microphones, par exemple deux haut-parleurs et deux microphones dans le cas de la stéréophonie.

On connaît des procédés et des dispositifs d'annulation d'écho multi-voies fondés sur le même principe que ceux d'annulation mono-voie. La figure 2 représente à titre d'exemple le schéma de principe partiel d'un annuleur d'écho acoustique stéréophonique classique, où, pour plus de clarté, on n'a représenté qu'une seule des deux voies de microphone. La structure générale peut être aisément généralisée à celle d'un annuleur d'écho acoustique à N voies de signal sonore, où N est un entier quelconque. On ne décrit dans ce qui suit que le cas  $N = 2$ . De façon analogue à l'annuleur d'écho de la figure 1, l'annuleur d'écho stéréophonique s'applique à des voies de signal sonore reçu  $16_1$ ,  $16_2$  et des voies de signal sonore émis, dont une seule, désignée par le chiffre de référence  $18_1$ , est représentée. L'annuleur d'écho est associé à deux haut-parleurs  $10_1$ ,  $10_2$  et deux microphones, dont un seul, désigné par le chiffre de référence  $12_1$ , est représenté. Il existe quatre chemins d'écho, dont deux chemins d'écho ( $14_1$  et  $14_2$ ) entre les deux haut-parleurs  $10_1$ ,  $10_2$  et le premier microphone  $12_1$  et deux autres chemins d'écho (non représentés) entre les deux haut-parleurs  $10_1$ ,  $10_2$  et le second microphone. Pour estimer les réponses impulsionnelles des divers chemins d'écho, un filtre adaptatif est prévu entre chaque voie de haut-parleur

et chaque voie de microphone. Ainsi, si on considère la voie du microphone  $12_1$ , il est prévu deux filtres adaptatifs  $20_1$ ,  $20_2$  qui reçoivent respectivement en entrée les signaux sonores reçus  $16_1$  et  $16_2$ . Les sorties des filtres adaptatifs  $20_1$ ,  $20_2$  sont fournies en entrée à un additionneur  $26_1$ . Dans un annuleur d'écho à N voies où N est un entier quelconque, on prévoit un tel additionneur sur chaque voie de microphone. La somme des signaux de sortie des filtres adaptatifs fournie par l'additionneur  $26_1$  est soustraite, par un soustracteur  $22_1$ , du signal reçu par le microphone  $12_1$ . La même opération est effectuée sur chaque voie de microphone. Le signal de différence obtenu en sortie du soustracteur  $22_1$  fournit une erreur d'estimation  $24_1$  commune à tous les filtres adaptatifs relatifs à la voie de microphone considérée ; dans l'exemple de la figure 2, l'erreur d'estimation  $24_1$  est commune aux filtres adaptatifs  $20_1$  et  $20_2$ . De même qu'en annulation d'écho mono-voies, les coefficients des filtres adaptatifs sont modifiés de façon itérative par un algorithme approprié, sur chaque voie de microphone, à partir de l'erreur d'estimation obtenue.

On a constaté, en annulation d'écho multi-voies, et en particulier en annulation d'écho stéréophonique, que la vitesse de convergence des algorithmes d'adaptation des coefficients des filtres adaptatifs était comparativement plus faible que la vitesse de convergence de ces algorithmes dans le cas de l'annulation d'écho mono-voie. Il a été montré que ce ralentissement de la convergence provient du fait que les signaux sonores reçus par les haut-parleurs, désignés par les chiffres de référence  $16_1$  et  $16_2$  sur la figure 2, sont mutuellement corrélés.

Le ralentissement de la convergence entraîne plusieurs inconvénients. En particulier, dans un système de téléconférence, les locuteurs situés dans la salle distante perçoivent d'autant plus longtemps l'écho de leur parole lors de la mise en route du système ou après une modification acoustique (mouvements des auditeurs par exemple) dans

la salle où est situé l'annuleur d'écho. En outre, en annulation d'écho multi-voies, toute modification acoustique dans la salle distante perturbe la convergence des filtres adaptatifs de l'annuleur d'écho, en raison de la corrélation mutuelle, évoquée précédemment, entre les signaux de parole reçue, ce qui entraîne une réapparition ou une augmentation du niveau de l'écho.

En revanche, on a observé en pratique que lorsque des composantes non mutuellement corrélées sont présentes sur chaque signal microphonique, elles tendent à accélérer la convergence des annuleurs d'écho multi-voies. Un objectif de la présente invention est d'exploiter cette propriété des composantes mutuellement décorrélées pour améliorer les performances des annuleurs d'écho multi-voies, et améliorer par conséquent la qualité de la communication dans les systèmes de transmission de signaux sonores qui mettent en oeuvre des annuleurs d'écho multi-voies. Pour cela, le principe général de la présente invention consiste à ajouter aux voies de signal sonore reçu des signaux auxiliaires mutuellement décorrélés, rendus inaudibles par exploitation de certaines propriétés de l'audition humaine.

Plus précisément, la présente invention propose un procédé d'annulation d'écho sur N voies de signal sonore ayant chacune un haut-parleur et un microphone associés, N étant un entier supérieur ou égal à 1, suivant lequel, sur chacune des N voies :

(a) on engendre un signal synthétique ayant les caractéristiques spectrales d'un bruit blanc, le spectre de ce signal s'étendant sur plusieurs bandes de fréquence adjacentes, et ce signal synthétique étant décorrélé des signaux synthétiques engendrés sur les autres voies ;

(b) pour chaque bande de fréquence, on calcule un seuil de masquage fréquentiel correspondant au signal associé au haut-parleur de la voie considérée en utilisant des propriétés de la perception auditive humaine ;

(c) dans chaque bande de fréquence, on amène le

niveau du signal synthétique à la valeur du seuil de masquage fréquentiel associé, de façon à obtenir un signal auxiliaire ;

5 (d) on additionne le signal auxiliaire au signal associé au haut-parleur de la voie considérée, les seuils de masquage fréquentiel ayant été précédemment calculés de façon à rendre le signal auxiliaire inaudible, et les signaux auxiliaires des N voies étant mutuellement décorrés ;

10 (e) on fournit le signal obtenu précédemment en entrée à un filtre adaptatif dont les coefficients forment une estimation de la réponse impulsionnelle du chemin de couplage acoustique entre le haut-parleur et le microphone associés à la voie de signal sonore considérée ;

15 (f) on additionne les signaux obtenus en sortie des N filtres adaptatifs respectivement associés à chaque voie de microphone et on soustrait le signal résultant du signal reçu par le microphone associé à cette voie ;

20 (g) on calcule une erreur d'estimation à partir de la différence obtenue à l'issue de la soustraction précédente ;

(h) on corrige les coefficients des filtres adaptatifs associés à la voie de microphone considérée en fonction de l'erreur d'estimation associée.

25 Dans un mode particulier de réalisation du procédé, pour calculer chaque seuil de masquage fréquentiel,

(b1) on forme des blocs contenant chacun un nombre prédéterminé d'échantillons de signal sonore, deux blocs successifs se recouvrant mutuellement sur un nombre prédéterminé d'échantillons ;

(b2) on pondère les échantillons de chaque bloc par une fenêtre d'apodisation ;

(b3) on calcule la transformée de Fourier de chaque bloc ;

35 (b4) on divise le domaine des fréquences en plusieurs bandes critiques adjacentes ayant des fréquences

inférieures et supérieures déterminées ;

puis, pour chaque bloc et dans chaque bande critique :

5 (b5) on additionne l'énergie des différentes raies spectrales appartenant à la bande critique, de façon à obtenir la valeur, pour cette bande critique, d'une fonction de répartition de l'énergie ;

10 (b6) on calcule le produit de convolution de la fonction de répartition de l'énergie et d'une fonction d'étalement basilaire, obtenue à partir d'une table de consultation, de façon à obtenir un spectre étalé  $E_i$  ;

(b7) on calcule un indice de tonalité  $\alpha_i$  à partir des énergies des raies spectrales appartenant aux différentes bandes critiques ;

15 (b8) on calcule un facteur de correction  $O_i$  à partir de l'indice de tonalité calculé précédemment ;

(b9) on calcule un seuil de masquage fréquentiel  $T_i$  à partir du spectre étalé  $E_i$  et du facteur de correction  $O_i$ , défini comme suit :

$$10 \log_{10} T_i = 10 \log_{10} E_i - O_i - C_i$$

20 où  $C_i$  est un paramètre supplémentaire de correction de seuil calculé à partir de plusieurs caractéristiques des signaux sonores des N voies.

25 Dans un mode particulier de réalisation du procédé, les caractéristiques servant à calculer le paramètre supplémentaire de correction de seuil  $C_i$  comprennent le niveau respectif des signaux des N voies et un ensemble de valeurs de la fonction d'intercorrélation d'au moins certaines paires de ces signaux, le paramètre supplémentaire de correction  $C_i$  étant une fonction croissante des valeurs  
30 de cette fonction d'intercorrélation.

En variante, les caractéristiques servant à calculer le paramètre supplémentaire de correction de seuil  $C_i$  peuvent comprendre la somme des énergies contenues dans les  
35 diverses bandes critiques de chaque voie et le rapport des énergies par bande critique d'au moins certaines paires des différentes voies, le paramètre supplémentaire de correction



$C_i$  étant d'autant plus important que la somme des énergies contenues dans les diverses bandes critiques est importante et que le rapport des énergies par bande critique d'une paire de voies est peu différent entre les différentes bandes critiques.

La présente invention propose également un annuleur d'écho à N voies de signal sonore ayant chacune un haut-parleur et un microphone associés, N étant un entier supérieur ou égal à 1, comprenant :

- des moyens de calcul de signaux auxiliaires, comportant :

des moyens de formation de blocs contenant chacun un nombre prédéterminé d'échantillons du signal sonore, deux blocs successifs se recouvrant mutuellement sur un nombre prédéterminé d'échantillons ;

des moyens de pondération des échantillons de chaque bloc par une fenêtre d'apodisation, disposés en sortie des moyens de formation de blocs ;

des moyens de calcul de transformée de Fourier, disposés en sortie des moyens de pondération ;

des moyens de calcul des valeurs de fréquences inférieures et supérieures de bandes critiques adjacentes, ou une table de consultation contenant ces valeurs ;

des moyens pour calculer une fonction de répartition de l'énergie sur les bandes critiques, la valeur, dans une bande critique donnée, de la fonction de répartition de l'énergie étant calculée en additionnant l'énergie des différentes raies spectrales appartenant à cette bande critique ;

une seconde table de consultation, contenant des valeurs représentant des fonctions d'étalement basilaire associées chacune à une bande critique donnée ;

des moyens pour calculer un spectre étalé  $E_i$ ,  
en calculant, pour une bande critique donnée, le  
produit de convolution de la fonction de répartition  
de l'énergie et de la fonction d'étalement associées  
à cette bande critique ;

des moyens de calcul d'un facteur de correc-  
tion  $O_i$  associé à une bande critique donnée ;

des moyens de calcul d'un seuil de masquage  
fréquentiel  $T_i$  associé à une bande critique donnée,  
à partir du spectre étalé et du facteur de correc-  
tion  $O_i$  associés à cette bande critique, le seuil de  
masquage fréquentiel  $T_i$  étant défini comme suit :

$$10 \log_{10} T_i = 10 \log_{10} E_i - O_i - C_i$$

où  $C_i$  est un paramètre supplémentaire de correction  
de seuil ;

des moyens de génération de signaux synthéti-  
ques ayant les caractéristiques spectrales d'un  
bruit blanc ;

des moyens de contrôle, connectés aux N voies  
de signal sonore, pour calculer pour chaque bande  
critique le paramètre supplémentaire de correction  
de seuil  $C_i$  à partir de plusieurs caractéristiques  
des signaux sonores des N voies ;

des moyens pour amener le niveau d'un signal  
synthétique à la valeur du seuil de masquage fré-  
quentiel associé, de façon à obtenir un signal  
auxiliaire ;

des moyens de calcul de transformée de Fourier  
inverse ;

des moyens de mémoire pour stocker le résultat  
du traitement des blocs successifs ;

des moyens pour combiner le résultat du  
traitement d'un bloc avec le résultat du traitement  
du bloc précédent ;

des moyens de lecture séquentielle reliés  
auxdits moyens de mémoire, pour faire passer la

cadence des données de la cadence bloc à la cadence échantillon ;

5 N premiers moyens additionneurs respectivement disposés sur les N voies de signal sonore, pour additionner sur chaque voie le signal sonore reçu et le signal auxiliaire associé ;

10 - NxN moyens de filtrage adaptatif, comprenant N moyens de filtrage adaptatif associés à chacune des N voies de microphone, et ayant chacun des coefficients qui forment une estimation de la réponse impulsionnelle du chemin de couplage acoustique entre le haut-parleur et le microphone associés à une des N voies de signal sonore ;

15 - des seconds moyens additionneurs, connectés en sortie des N moyens de filtrage adaptatif associés à chaque voie de microphone, pour additionner les signaux de sortie de ces N moyens de filtrage adaptatif ;

20 - N moyens soustracteurs, disposés chacun en sortie des seconds moyens additionneurs et connectés respectivement aux microphones des N voies de signal sonore, pour soustraire sur chaque voie le signal obtenu en sortie des seconds moyens additionneurs du signal reçu par le microphone de cette voie ;

25 - N moyens pour calculer sur chaque voie une erreur d'estimation à partir du résultat fourni par le moyen soustracteur connecté au microphone de cette voie ;

- N moyens pour corriger de façon itérative les coefficients respectifs des N moyens de filtrage adaptatif associés à chacune des N voies de microphone, en fonction de l'erreur d'estimation associée à chaque voie de microphone.

30 Les réalisations diffèrent selon les applications, et en particulier, le nombre de haut-parleurs du système de transmission de signaux sonores considéré peut être différent du nombre de microphones.

35 Dans un mode particulier de réalisation du dispositif, les caractéristiques servant à calculer le paramètre supplémentaire de correction de seuil  $C_i$  comprennent le

niveau respectif des signaux des N voies et un ensemble de valeurs de la fonction d'intercorrélation d'au moins certaines paires de ces signaux, le paramètre supplémentaire de correction  $C_i$  étant une fonction croissante des valeurs de cette fonction d'intercorrélation.

En variante, les caractéristiques servant à calculer le paramètre supplémentaire de correction de seuil  $C_i$  peuvent comprendre la somme des énergies contenues dans les diverses bandes critiques de chaque voie et le rapport des énergies par bande critique d'au moins certaines paires des différentes voies, le paramètre supplémentaire de correction  $C_i$  étant d'autant plus important que la somme des énergies contenues dans les diverses bandes critiques est importante et que le rapport des énergies par bande critique d'une paire de voies est peu différent entre les différentes bandes critiques.

Dans un mode particulier de réalisation du dispositif, l'annuleur d'écho comprend en outre des moyens de calcul d'un indice de tonalité  $\alpha_i$  à partir des énergies des raies spectrales appartenant aux différentes bandes critiques, lesdits moyens de calcul du facteur de correction  $O_i$  calculant le facteur de correction  $O_i$  à partir de l'indice de tonalité  $\alpha_i$ .

Dans un mode particulier de réalisation du dispositif, les moyens de calcul de l'indice de tonalité fournissent un indice de tonalité constant, identique pour toutes les bandes critiques et défini par :

$$\alpha_i = \alpha = \min(\text{SFM}/\text{SFM}_{\max}, 1)$$

où  $\min(a, b)$  désigne la plus petite des valeurs a et b,  
où  $\text{SFM}_{\max}$  est un paramètre de valeur prédéterminée en dB associé à un signal sinusoïdal pur, et  
où  $\text{SFM} = 10 \log_{10} G/A$ , où  $\log_{10}$  désigne le logarithme décimal, G désigne la moyenne géométrique de l'énergie sur un nombre prédéterminé de points de la transformée de Fourier et A désigne sa moyenne arithmétique sur le même nombre de points.

Dans un mode particulier de réalisation,  $SFM_{max} =$   
- 60 dB.

Dans un mode particulier de réalisation, les moyens  
de calcul du facteur de correction  $O_i$  fournissent un facteur  
5 de correction  $O_i$  défini par :

$$O_i = \max (SO, \alpha_i \cdot (k_1 + B_i) + (1 - \alpha_i) \cdot k_2)$$

où  $\max(a, b)$  désigne la plus grande des valeurs  $a$  et  $b$ ,

où  $SO$ ,  $k_1$  et  $k_2$  sont des paramètres de valeur prédéterminée  
en dB,

10 où  $\alpha_i$  est l'indice de tonalité associé à la bande critique  
considérée, et

où  $B_i$  désigne la fréquence de la bande critique en Bark.

Dans un mode particulier de réalisation du disposi-  
tif,  $SO = 24,5$  dB,  $k_1 = 14,5$  dB et  $k_2 = 5,5$  dB.

15 D'autres caractéristiques et avantages de la  
présente invention apparaîtront à la lecture de la descrip-  
tion détaillée qui suit de modes particuliers de réalisa-  
tion, donnés à titre d'exemples non limitatifs. La descrip-  
tion se réfère aux dessins annexés, dans lesquels :

20 - la figure 1, relative à l'art antérieur et décrite  
en introduction, est une représentation schématique d'un  
annuleur d'écho acoustique mono-voie classique ;

- la figure 2, également relative à l'art antérieur  
et décrite en introduction, est une représentation schéma-  
25 tique partielle d'un annuleur d'écho acoustique stéréophonique  
classique, où une seule voie de microphone est représentée ;

- la figure 3 est un organigramme décrivant la  
succession générale des étapes du procédé de la présente  
invention dans un mode particulier de réalisation ;

30 - la figure 4 représente de façon schématique le  
dispositif de la présente invention dans un mode particulier  
de réalisation ;

- la figure 5 représente de façon schématique la  
structure du module de calcul de signaux auxiliaires compris  
35 dans le dispositif de la présente invention, dans un mode  
particulier de réalisation ;

- la figure 6a est un graphe illustrant un premier exemple d'évolution au cours du temps de l'écart relatif entre les réponses impulsionnelles réelles des chemins de couplage acoustique et les réponses impulsionnelles estimées par les filtres adaptatifs d'un annuleur d'écho stéréophonique conforme à un mode particulier de réalisation de la présente invention ;

- la figure 6b est un graphe analogue à celui de la figure 6a, établi pour un annuleur d'écho stéréophonique classique ;

- la figure 7a est un graphe illustrant un deuxième exemple d'évolution au cours du temps de l'écart relatif entre les réponses impulsionnelles réelles des chemins de couplage acoustique et les réponses impulsionnelles estimées par les filtres adaptatifs d'un annuleur d'écho stéréophonique conforme à un mode particulier de réalisation de la présente invention ;

- la figure 7b est un graphe analogue à celui de la figure 7a, établi pour un annuleur d'écho stéréophonique classique.

Le procédé et le dispositif de la présente invention s'appliquent à un signal sonore quelconque. A titre d'exemple non limitatif, il peut s'agir aussi bien d'un signal de parole que de musique.

On va d'abord décrire l'organisation générale du procédé d'annulation d'écho multi-voies dans un mode particulier de réalisation, à l'aide de la figure 3.

On considère N voies de signal sonore dont chacune comporte un haut-parleur et un microphone.

Sur chaque voie de signal sonore reçu, on synthétise tout d'abord un signal ayant les caractéristiques spectrales d'un bruit blanc et dont le spectre s'étend sur plusieurs bandes de fréquence adjacentes, les signaux synthétiques des N voies étant mutuellement décorrélés.

Ensuite, pour chaque bande de fréquence, on calcule un seuil de masquage fréquentiel correspondant au signal sonore reçu par le haut-parleur de la voie considérée.

5 On rappelle que l'effet de masquage consiste en ce qu'un son en présence d'un autre peut devenir partiellement ou complètement inaudible. Lorsque ce phénomène se produit dans le domaine fréquentiel, on parle de masquage simultané ou masquage fréquentiel. Il existe un seuil, appelé seuil de masquage fréquentiel, en deçà duquel toutes les composantes  
10 fréquentielles d'un son masqué sont inaudibles. Pour plus de détail sur le phénomène de masquage, on se reportera utilement à l'ouvrage de E. ZWICKER et R. FELDTKELLER intitulé "Das Ohr als Nachrichtenempfänger", Stuttgart, West Germany, Hirzel Verlag, 1967.

15 Dans un mode particulier de réalisation, le calcul des seuils de masquage fréquentiel s'effectue comme suit. Tout d'abord, on transforme la cadence du flot de données de signal sonore en passant d'une cadence d'échantillons, par exemple de 16 kHz, à une cadence de blocs, par exemple  
20 chacun d'une durée de 32 ms. Chaque bloc contient donc un nombre prédéterminé d'échantillons. Deux blocs successifs se recouvrent mutuellement sur un nombre prédéterminé d'échantillons, par exemple sur une durée de 16 ms.

25 Ensuite, pour améliorer l'estimation ultérieure du spectre, on pondère les échantillons de chaque bloc par une fenêtre d'apodisation, par exemple du type fenêtre de Hamming ou de Hanning.

Puis on calcule la transformée de Fourier de chaque bloc sur un nombre prédéterminé de points, par exemple 512  
30 points pour des blocs de 32 ms. On peut utiliser à cet effet un algorithme de transformée de Fourier rapide.

On divise ensuite le domaine des fréquences auquel le signal sonore reçu est susceptible d'appartenir en plusieurs bandes de fréquences adjacentes ayant des fréquences inférieures et supérieures déterminées. Ces bandes de  
35 fréquences sont appelées bandes critiques. Le tableau ci-

dessous fournit, à titre d'exemple non limitatif, la décomposition du domaine des fréquences de la parole en bandes critiques (bornes inférieures et supérieures et fréquences centrales) établie par E. ZWICKER et R. FELDTKEL-  
 5 LER et figurant dans l'ouvrage précité. La largeur de chaque bande critique est par convention égale à 1 Bark. Le tableau donne donc la correspondance entre l'échelle fréquentielle des Hertz et celle des Bark.

10

	Bande critique n°	Borne inférieure (Hz)	Centre (Hz)	Borne supérieure (Hz)
15	1	0	50	100
	2	100	150	200
	3	200	250	300
	4	300	350	400
	5	400	450	510
20	6	510	570	630
	7	630	700	770
	8	770	840	920
	9	920	1000	1080
	10	1080	1170	1270
25	11	1270	1370	1480
	12	1480	1600	1720
	13	1720	1850	2000
	14	2000	2150	2320
	15	2320	2500	2700
30	16	2700	2900	3150
	17	3150	3400	3700
	18	3700	4000	4400
	19	4400	4800	5300
	20	5300	5800	6400
35	21	6400	7000	7700
	22	7700	8500	9500
	23	9500	10500	12000
40	24	12000	13500	15500

Au lieu d'appliquer une transformée de Fourier comme décrit ci-dessus, on peut, en variante, utiliser une



décomposition par bancs de filtres, ce qui permet d'obtenir directement la décomposition en bandes critiques.

5 L'étape suivante consiste à additionner l'énergie des différentes raies spectrales appartenant à chaque bande critique, de façon à obtenir la valeur, dans cette bande critique, d'une fonction de répartition de l'énergie.

On calcule ensuite le spectre étalé  $E_1$ , défini comme le produit de convolution de la fonction de répartition de l'énergie par bande critique avec la fonction dite d'étalement basilaire. La fonction d'étalement basilaire  $E_b$  correspond à la réponse fréquentielle en énergie de la membrane basilaire de l'oreille humaine. Elle représente l'excitation résultant de la perception d'une tonale, c'est-à-dire d'un son de fréquence pure, et peut être définie par l'équation suivante, figurant également dans l'ouvrage précité de E. ZWICKER et R. FELDTKELLER :

$$10 \cdot \log_{10} E_b = 15,81 + 7,5 \cdot (B + 0,474) - 17,5 \cdot (1 + (B + 0,474)^2)^{1/2}$$

où  $\log_{10}$  représente le logarithme décimal et B est la fréquence en Bark. Dans le mode particulier de réalisation décrit, les valeurs de cette fonction sont lues dans une table de consultation.

On a montré expérimentalement qu'il est plus difficile de masquer un bruit par une tonale que l'inverse. Pour tenir compte de cette asymétrie des seuils de masquage, on applique à chaque seuil un facteur de correction  $O_i$  associé à une bande critique donnée  $B_i$  et qui dépend de l'aspect tonal ou non tonal du signal sonore. Pour évaluer cet aspect tonal ou non tonal, on utilise, dans un mode particulier de réalisation, une mesure notée SFM (en anglais Spectral Flatness Measure), définie comme le rapport entre la moyenne géométrique de l'énergie sur un nombre prédéterminé de points de la transformée de Fourier et sa moyenne arithmétique sur le même nombre de points, par exemple 256 points pour une transformée de Fourier calculée sur 512 points.

La valeur SFM obtenue est comparée à celle d'un signal sinusoïdal pur, pour lequel, à titre d'exemple non limitatif, on peut poser par convention  $SFM = SFM_{max} = -60$  dB.

- 5 On calcule alors un indice de tonalité  $\alpha_i$ , qui, dans un mode particulier de réalisation, est constant et identique pour toutes les bandes critiques et défini par :

$$\alpha_i = \alpha = \min (SFM/SFM_{max}, 1)$$

- 10 où min (a, b) désigne la plus petite des valeurs a et b. L'indice  $\alpha_i$  est compris entre 0 et 1 et est plus élevé pour les composantes tonales du signal que pour les composantes non tonales. Toute autre méthode de calcul de l'indice de tonalité jugée appropriée est envisageable.

- 15 Le facteur de correction  $O_i$  associé à la bande critique de fréquence  $B_i$  en Bark est défini à partir de l'indice de tonalité  $\alpha_i$  comme suit :

$$O_i = \max (SO, \alpha_i \cdot (k_1 + B_i) + (1 - \alpha_i) \cdot k_2)$$

- 20 où max (a, b) désigne la plus grande des valeurs a et b et où SO,  $k_1$  et  $k_2$  sont des paramètres de valeur prédéterminée en dB. Typiquement, on peut choisir  $SO = 24,5$  dB,  $k_1 = 14,5$  dB et  $k_2 = 5,5$  dB.

- 25 Le facteur de correction  $O_i$  est une fonction croissante du rang de la bande critique dans le cas de composantes tonales dominantes et accorde plus de poids à celles-ci qu'aux composantes non tonales.

- 30 On applique en outre aux seuils de masquage un paramètre supplémentaire de correction  $C_i$  calculé à partir de plusieurs caractéristiques des signaux sonores des N voies. Le paramètre  $C_i$  peut être commun à tous les seuils de masquage correspondant aux différentes bandes critiques, ou bien avoir une valeur spécifique pour chaque bande critique.

- 35 Dans un mode particulier de réalisation, on calcule le paramètre supplémentaire de correction de seuil  $C_i$  à partir des niveaux des signaux sonores reçus sur les N voies et d'un ensemble de valeurs de la fonction d'intercorrélation d'au moins certaines paires de ces signaux. Dans ce

mode particulier de réalisation, le paramètre supplémentaire de correction de seuil  $C_1$  est une fonction croissante des valeurs de la fonction d'intercorrélation.

5 A titre d'exemple non limitatif, dans une installation pratique typique de téléconférence à plusieurs microphones et plusieurs haut-parleurs, les microphones sont disposés de telle sorte que la corrélation entre signaux captés est importante entre deux microphones adjacents et faible entre microphones distants. Cette corrélation  
10 variable se retrouve, moyennant des modifications éventuelles dues aux traitements durant la transmission, à la réception, entre les voies adjacentes d'une part, à savoir, entre deux haut-parleurs directement voisins, et entre les voies distantes d'autre part, à savoir, entre les autres paires de haut-parleurs distants.  
15

Ainsi, on peut se limiter à utiliser, pour le calcul des paramètres  $C_1$ , les caractéristiques de niveau et d'intercorrélation des paires de voies correspondant aux paires de haut-parleurs directement voisins et aux deux paires adjacentes (si ces dernières existent, compte tenu du nombre total de haut-parleurs). Ainsi, si on considère une  
20 paire de haut-parleurs directement voisins ( $HP_k$ ,  $HP_{k+1}$ ), on utilisera leurs caractéristiques de niveau et d'intercorrélation ainsi que celles des paires adjacentes ( $HP_{k-1}$ ,  $HP_k$ ) ( $HP_{k-1}$  et  $HP_k$  étant directement voisins) et ( $HP_{k+1}$ ,  $HP_{k+2}$ ) ( $HP_{k+1}$  et  $HP_{k+2}$  étant directement voisins).  
25

Dans un autre mode de réalisation, on calcule le paramètre supplémentaire de correction  $C_1$  à partir de la somme des énergies contenues dans les diverses bandes critiques de chaque voie et le rapport des énergies par bande critique d'au moins certaines paires des différentes voies.  
30

De façon analogue au mode de réalisation précédent, on peut se limiter à utiliser les caractéristiques de somme et de rapport d'énergie des paires de voies correspondant aux paires de haut-parleurs directement voisins et aux deux  
35

5 paires adjacentes. Le paramètre  $C_i$  est d'autant plus important que la somme des énergies contenues dans les diverses bandes critiques est importante et que le rapport des énergies par bande critique d'une paire de voies est peu différent entre les différentes bandes critiques.

10 Ainsi, lorsque l'intercorrélacion entre les signaux sonores de deux voies données est forte, et/ou que ces deux signaux ont des énergies comparables, le paramètre  $C_i$  est élevé, c'est-à-dire qu'une réduction importante du seuil est appliquée, typiquement de 6 à 10 dB. A l'inverse, lorsque les signaux sont peu corrélés et/ou sont d'énergies sensiblement différentes, une réduction moins importante du seuil est appliquée, typiquement de 0 à 6 dB. Cette correction tient compte des propriétés de l'audition. Elle a pour but de rendre inaudibles les signaux auxiliaires mentionnés en introduction et dont l'obtention est détaillée ci-après, tout en permettant de leur donner le niveau le plus élevé possible.

20 Pour chaque bloc et dans chaque bande critique, on obtient le seuil de masquage fréquentiel  $T_i$  à partir du spectre étalé  $E_i$  et du facteur de correction  $O_i$  définis précédemment, et du paramètre supplémentaire de correction de seuil  $C_i$ , comme suit :

$$10 \log_{10} T_i = 10 \log_{10} E_i - O_i - C_i$$

25 Comme le montre la figure 3, l'étape suivante du procédé consiste à obtenir, sur chaque voie, un signal auxiliaire. Pour cela, dans un mode particulier de réalisation, on amène dans chaque bande critique le niveau du signal synthétique à la valeur du seuil de masquage fréquentiel associé.

30 On calcule ensuite la transformée de Fourier inverse correspondant au résultat du traitement du bloc courant, par exemple au moyen d'un algorithme de transformée de Fourier inverse rapide. Dans le cas où on n'a pas utilisé une transformée de Fourier, mais une décomposition par bancs de filtres, comme décrit précédemment, on effectue, au lieu

35

d'une transformation de Fourier inverse, une étape de synthèse correspondant à une transformation inverse de la décomposition par bancs de filtres.

5 On combine ensuite le résultat du traitement des blocs précédents avec le résultat du traitement du bloc courant, afin de reconstruire le bloc de bruit masqué courant, par exemple au moyen d'un procédé connu de synthèse par recouvrement et addition (en anglais "overlap-add") ou par recouvrement et sauvegarde (en anglais "overlap-save").

10 On repasse ensuite de la cadence de blocs à la cadence d'échantillons.

L'ensemble des traitements décrits précédemment peut être effectué par un processeur de traitement de signal en temps réel.

15 Dans un mode particulier de réalisation, l'étape suivante du procédé consiste, sur chaque voie, à additionner le signal auxiliaire obtenu au signal associé au haut-parleur de cette voie, comme l'indique la figure 3. Par construction, les signaux auxiliaires des N voies sont  
20 mutuellement décorrélés et, du fait que les signaux auxiliaires ne dépassent pas les seuils de masquage fréquentiel associés, ils sont inaudibles.

Dans le mode de réalisation décrit, chaque signal auxiliaire est additionné au signal de haut-parleur associé  
25 après avoir été reconstitué dans sa totalité à partir des différentes bandes critiques. En variante, cette addition peut tout aussi bien être effectuée dans chacune des différentes bandes critiques.

30 On effectue ensuite une étape globale de filtrage adaptatif, comme l'indique la figure 3. Cette étape est détaillée ci-dessous dans un mode particulier de réalisation.

35 On fournit tout d'abord la somme du signal auxiliaire et du signal de haut-parleur en entrée à un filtre adaptatif dont les coefficients forment une estimation de la réponse impulsionnelle du chemin de couplage acoustique

entre le haut-parleur et le microphone associés à la voie de signal sonore considérée.

On procède ainsi sur chaque voie, puis on additionne les signaux obtenus en sortie des N filtres adaptatifs associés à chaque voie de microphone. On soustrait ensuite le signal résultant, sur chaque voie de microphone, du signal reçu par le microphone associé à cette voie.

A partir du signal de différence ainsi obtenu, on calcule sur chaque voie de microphone une erreur d'estimation et on corrige les coefficients des filtres adaptatifs associés à cette voie de microphone en fonction de cette erreur d'estimation.

L'étape de filtrage adaptatif détaillée ci-dessus est réalisée dans le domaine temporel. En variante, on peut réaliser le filtrage adaptatif par blocs et non par échantillons, en particulier en effectuant l'ensemble des traitements correspondants dans le domaine de Fourier. Pour une description de procédés de filtrage adaptatif fréquentiel, on se reportera utilement à l'article de J. PRADO et E. MOULINES intitulé "Frequency domain adaptive filtering with applications to acoustic echo cancellation", Annales des Télécommunications, 49, n° 7-8, 1994, pages 414-428.

On décrit dans ce qui suit un mode particulier de réalisation d'un annuleur d'écho conforme à la présente invention, à l'aide des figures 4 et 5.

Dans ce mode particulier de réalisation, le nombre de haut-parleurs est identique au nombre de microphones. Cependant, diverses réalisations sont possibles selon les applications, et en particulier, le nombre de haut-parleurs peut être différent du nombre de microphones.

Comme le montre la figure 4, l'annuleur d'écho est associé à N haut-parleurs  $30_1, \dots, 30_N$  et N microphones  $32_1, \dots, 32_N$ . Il comprend un module 34 de calcul de signaux auxiliaires dont la structure détaillée sera décrite à l'aide de la figure 5. De façon globale, le module 34 de calcul de signaux auxiliaires comprend un module de contrôle

36 connecté aux N voies de haut-parleur, N modules  $38_1, \dots, 38_N$  de production de signaux auxiliaires respectivement connectés aux N voies de haut-parleur et au module de contrôle 36, et N premiers modules additionneurs  $40_1, \dots, 40_N$  respectivement disposés sur les N voies de haut-parleur et recevant chacun en entrée le signal sonore reçu sur la voie considérée et le signal de sortie du module de production de signaux auxiliaires associé à cette voie.

L'annuleur d'écho représenté sur la figure 4 comprend en outre  $N \times N$  modules de filtrage adaptatif  $42_{i,j}$ , où i et j sont des entiers variant de 1 à N, les N modules de filtrage adaptatif  $42_{i,1}, \dots, 42_{i,N}$  étant associés à la ième voie de microphone,  $1 \leq i \leq N$ , et étant respectivement associés aux N voies de haut-parleur, comme le montre la figure 4. Pour la ième voie de microphone,  $1 \leq i \leq N$ , les sorties des N modules de filtrage adaptatif  $42_{i,1}, \dots, 42_{i,N}$  sont connectées à un second module additionneur  $44_i$ . La sortie de chaque second module additionneur  $44_i$ ,  $1 \leq i \leq N$ , est connectée à l'entrée soustractive d'un module soustracteur  $46_i$  recevant sur son entrée non soustractive le signal reçu par le ième microphone  $32_i$ . La sortie de chaque module soustracteur  $46_i$  commande l'ensemble des N modules de filtrage adaptatif  $42_{i,1}, \dots, 42_{i,N}$ , par l'intermédiaire d'un module (non représenté) permettant de calculer une erreur d'estimation à partir du résultat fourni par le module soustracteur  $46_i$ , et par l'intermédiaire d'un module (non représenté) pour corriger de façon itérative les coefficients des N modules de filtrage adaptatif  $42_{i,1}, \dots, 42_{i,N}$ , en fonction de l'erreur d'estimation obtenue.

La figure 5 représente plus en détail la structure du sous-ensemble du module 34 de calcul de signaux auxiliaires formé par le module de contrôle 36 et les N modules  $38_1, \dots, 38_N$  de production de signaux auxiliaires.

Le signal sonore reçu sur une voie de haut-parleur donnée est fourni en entrée à un module 48 de formation de blocs. Le module 48 fournit en sortie des blocs contenant

chacun un nombre prédéterminé d'échantillons du signal sonore reçu. Deux blocs successifs se recouvrent mutuellement sur un nombre prédéterminé d'échantillons. Les exemples numériques donnés dans la description d'un mode particulier de réalisation du procédé restent valables.

Le module 48 de formation de blocs est connecté à un module de pondération 50 qui applique à chaque bloc une fenêtre d'apodisation, par exemple du type fenêtre de Hamming ou de Hanning.

Le module de pondération 50 est connecté à un module 52 de calcul de transformée de Fourier. A titre d'exemple non limitatif, le module 52 peut effectuer une transformée de Fourier rapide sur 512 points.

Le module 34 de calcul de signaux auxiliaires comprend également un module 54 de calcul des valeurs des fréquences inférieures et supérieures de bandes critiques adjacentes couvrant le domaine de fréquences auquel appartient le signal sonore reçu. En variante, le module 54 peut consister en une table de consultation contenant ces valeurs.

Le module 54 est connecté à un module 56 de calcul de fonctions de répartition de l'énergie. L'entrée du module 56 est également connectée au module 52 de calcul de transformée de Fourier. Le module 56 calcule et additionne l'énergie des différentes raies spectrales appartenant à chaque bande critique en utilisant les valeurs des fréquences limites des bandes critiques fournies par le module 54. Le module 56 fournit en sortie, pour chaque bande critique, la valeur d'une fonction de répartition de l'énergie.

Une seconde table de consultation 58 contient des valeurs représentant des fonctions d'étalement basilaire associées chacune à une bande critique donnée. La définition de ces fonctions a été donnée plus haut en relation avec un mode particulier de réalisation du procédé.

La seconde table de consultation 58 est connectée à l'entrée d'un module 60 permettant de calculer un spectre



étalé  $E_i$ . L'entrée du module 60 est également connectée au module 56 de calcul de fonctions de répartition de l'énergie. Le module 60 calcule, pour une bande critique donnée, le produit de convolution de la fonction de répartition de l'énergie et de la fonction d'étalement, de façon à fournir en sortie le spectre étalé pour cette bande critique.

Dans le mode particulier de réalisation représenté sur la figure 5, le module 34 de calcul de signaux auxiliaires comprend en outre un module 62 de calcul d'indices de tonalité  $\alpha_i$  respectivement associés à des bandes critiques données. Le module 62 est connecté en sortie du module 52 de calcul de transformée de Fourier et utilise les valeurs des énergies des raies spectrales appartenant aux différentes bandes critiques.

Dans ce mode particulier de réalisation, le module 62 de calcul d'indices de tonalité est connecté à un module 64 de calcul de facteurs de correction  $O_i$  respectivement associés à des bandes critiques données. Le module 64 calcule les facteurs de correction  $O_i$  à partir des indices de tonalité  $\alpha_i$ .

Dans un mode particulier de réalisation, le module 62 de calcul d'indices de tonalité fournit un indice de tonalité  $\alpha_i$  constant, identique pour toutes les bandes critiques, défini par :

$$\alpha_i = \alpha = \min(\text{SFM}/\text{SFM}_{\max}, 1)$$

où  $\min(a, b)$  désigne la plus petite des valeurs  $a$  et  $b$ ,

où  $\text{SFM}_{\max}$  est un paramètre de valeur prédéterminée en dB associé à un signal sinusoïdal pur, et

où  $\text{SFM} = 10 \log_{10} G/A$ , où  $\log_{10}$  désigne le logarithme décimal,  $G$  désigne la moyenne géométrique de l'énergie sur un nombre prédéterminé de points de la transformée de Fourier et  $A$  désigne sa moyenne arithmétique sur le même nombre de points. Dans ce mode de réalisation, le module 64 de calcul de facteurs de correction  $O_i$  fournit en sortie pour chaque bande critique un facteur de correction  $O_i$  défini par :

$$O_i = \max(SO, \alpha_i \cdot (k_1 + B_i) + (1 - \alpha_i) \cdot k_2)$$

où  $\max(a, b)$  désigne la plus grande des valeurs  $a$  et  $b$ ,  
où  $SO$ ,  $k_1$  et  $k_2$  sont des paramètres de valeur prédéterminée  
en dB,

où  $\alpha_i$  est l'indice de tonalité associé à la bande critique  
considérée, et

où  $B_i$  désigne la fréquence de la bande critique en Bark.

A titre d'exemple non limitatif, les paramètres  $SFM_{\max}$ ,  $SO$ ,  
 $k_1$  et  $k_2$  peuvent avoir les valeurs numériques indiquées plus  
haut en relation avec un mode particulier de réalisation du  
procédé.

Le module 64 de calcul de facteurs de correction  $O_i$   
et le module 60 de calcul de spectres étalés sont connectés  
à l'entrée d'un module 66 de calcul de seuils de masquage  
fréquentiel  $T_i$  respectivement associés à des bandes criti-  
ques données. Le module 66 fournit en sortie pour chaque  
bande critique un seuil de masquage fréquentiel  $T_i$  défini  
comme suit :

$$10 \log_{10} T_i = 10 \log_{10} E_i - O_i - C_i$$

où  $E_i$  est le spectre étalé et  $O_i$  le facteur de correction  
associés à cette bande critique, et où  $C_i$  est un paramètre  
supplémentaire de correction de seuil.

Le paramètre  $C_i$  est fourni par le module de contrôle  
36 mentionné plus haut. Les connexions du module 36 aux  $N$   
voies de haut-parleur, représentées sur la figure 4, ont été  
omises sur la figure 5 pour plus de clarté.

Dans un mode particulier de réalisation, le module  
de contrôle 36 calcule le paramètre supplémentaire de  
correction de seuil  $C_i$  pour chaque bande critique à partir  
du niveau respectif des signaux des  $N$  voies et d'un ensemble  
de valeurs de la fonction d'intercorrélation d'au moins  
certaines paires de ces signaux, comme on l'a décrit plus  
haut en relation avec un mode particulier de réalisation du  
procédé. On a vu que dans ce cas, le paramètre  $C_i$  est une  
fonction croissante des valeurs de la fonction d'intercorrél-  
ation.

Dans un autre mode particulier de réalisation, le module de contrôle 36 calcule le paramètre  $C_i$  pour chaque bande critique à partir de la somme des énergies contenues dans les diverses bandes critiques de chaque voie et du rapport des énergies par bande critique d'au moins certaines paires des différentes voies, comme on l'a également décrit en relation avec un mode particulier de réalisation du procédé. On a vu que dans ce cas, le paramètre  $C_i$  est d'autant plus important que la somme des énergies contenues dans les diverses bandes critiques est importante et que le rapport des énergies par bande critique d'une paire de voies est peu différent entre les différentes bandes critiques.

Le module 34 de calcul de signaux auxiliaires comporte de plus un module 68 de génération de signaux synthétiques. Le module produit, pour chaque voie de signal sonore, un signal ayant les caractéristiques spectrales d'un bruit blanc et décorrélié des signaux synthétiques produits pour les autres voies.

La sortie du module 66 de calcul de seuils de masquage fréquentiel est connectée à un module de conversion fréquentielle 69. Le module 69 effectue la conversion des seuils de masquage fournis par le module 66 de Bark en Hertz.

Un module 70 reçoit en entrée les signaux synthétiques produits par le module 68 et les seuils de masquage fréquentiel calculés par le module 66 et convertis par le module 69. Le module 70 amène le niveau de chaque signal synthétique à la valeur du seuil de masquage fréquentiel associé, de façon à obtenir un signal auxiliaire.

La sortie du module 70 est connectée à l'entrée d'un module 72 de calcul de transformée de Fourier inverse.

La sortie du module 72 est connectée à l'entrée d'un module de synthèse 74. Le module de synthèse 74 est connecté à une mémoire vive (non représentée) qui stocke le résultat du traitement des blocs d'échantillons successifs. Le module de synthèse 74 combine le résultat du traitement d'un bloc

avec le résultat du traitement du bloc précédent fourni par la mémoire vive, par exemple en mettant en oeuvre un procédé de synthèse par recouvrement et addition (en anglais "overlap-add") ou recouvrement et sauvegarde (en anglais "overlap-save").

Un module 76 de lecture séquentielle est connecté au module de synthèse 74 et à la mémoire vive, et assure le passage de la cadence des données de la cadence de blocs à une cadence d'échantillons.

L'ensemble des modules 48 à 76 qui viennent d'être décrits est équivalent à la série de modules  $38_1, \dots, 38_N$  de production de signaux auxiliaires représentés de façon simplifiée sur la figure 4. En effet, chacun des modules 48 à 76 contribue à produire un signal auxiliaire pour chaque voie de haut-parleur.

Ainsi, la présente invention permet d'injecter à chaque instant sur chaque voie de signal sonore reçu un signal auxiliaire de niveau maximal, assurant efficacement l'accroissement de la vitesse de convergence, et dont le niveau est rendu par construction inférieur au seuil de masquage par le signal sonore reçu.

Le procédé et le dispositif de la présente invention s'appliquent également en annulation d'écho mono-voie (cas  $N = 1$ ), pour améliorer la convergence du filtre adaptatif.

Ils sont applicables à tous les types d'annulation d'écho acoustique, en particulier aussi bien dans le domaine temporel que dans le domaine fréquentiel, ou encore en sous-bandes.

Les figures 6a, 6b et 7a, 7b illustrent deux exemples de résultats comparatifs obtenus à l'aide du procédé et du dispositif d'annulation d'écho conformes à un mode particulier de réalisation de la présente invention.

Les graphes des figures 6a à 7b comprennent tous deux courbes. Les courbes en tirets concernent la voie stéréophonique droite et les courbes en pointillés concernent la voie stéréophonique gauche. L'algorithme utilisé

pour l'adaptation des coefficients des filtres adaptatifs est l'algorithme du gradient stochastique normalisé (NLMS). Les filtres adaptatifs ont une taille de 1024 coefficients. L'axe des abscisses représente le nombre d'itérations de l'algorithme d'adaptation, divisé par un facteur 256. L'axe des ordonnées représente l'écart relatif, en dB, entre les réponses impulsionnelles réelles des chemins de couplage acoustique et les réponses impulsionnelles des filtres adaptatifs d'un annuleur d'écho stéréophonique.

Le premier exemple comparatif, illustré par les figures 6a et 6b, correspond à un locuteur masculin. Le pas d'adaptation de l'algorithme NLMS est de 0,25. La figure 6a montre l'écart relatif obtenu en utilisant la présente invention et la figure 6b montre l'écart relatif obtenu en utilisant un procédé et un dispositif classiques d'annulation d'écho, ne faisant notamment pas intervenir de signaux auxiliaires.

Le deuxième exemple comparatif, illustré par les figures 7a et 7b, correspond à un locuteur féminin. Le pas d'adaptation de l'algorithme NLMS est de 0,125. Les figures 7a et 7b sont les analogues respectifs des figures 6a et 6b.

Dans les deux exemples comparatifs, l'utilisation de la présente invention assure toujours un écart relatif inférieur à 1 (c'est-à-dire négatif en dB), ce qui n'est pas le cas du procédé et du dispositif classiques pour la voie droite (courbes en tirets). De plus, dans les cas d'utilisation de la présente invention, l'écart sur la voie gauche (courbes en pointillés) est inférieur de plusieurs dB à l'écart observé sur les courbes correspondant au procédé et au dispositif classiques. La présente invention présente donc des performances supérieures, permettant de garantir un bon comportement de poursuite de l'annuleur d'écho en présence de variations des chemins de couplage acoustique.

Par ailleurs, dans les deux exemples, la correction appliquée aux seuils de masquage est de 10 dB. On pourrait tolérer une réduction de quelques dB de cette correction, ce

qui améliorerait encore les performances du procédé et du  
dispositif proposés, alors que la parole perçue, bien que  
légèrement modifiée par le bruit ajouté, conserverait une  
qualité tout à fait acceptable dans une application du type  
5 téléconférence.

10

15

20

25

30

35

## REVENDICATIONS

1. Procédé d'annulation d'écho sur N voies de signal sonore ayant chacune un haut-parleur et un microphone associés, N étant un entier supérieur ou égal à 1, suivant lequel, sur chacune des N voies :

(a) on engendre un signal synthétique ayant les caractéristiques spectrales d'un bruit blanc, le spectre de ce signal s'étendant sur plusieurs bandes de fréquence adjacentes, et ce signal synthétique étant décorrélié des signaux synthétiques engendrés sur les autres voies ;

(b) pour chaque bande de fréquence, on calcule un seuil de masquage fréquentiel correspondant au signal associé au haut-parleur de la voie considérée en utilisant des propriétés de la perception auditive humaine ;

(c) dans chaque bande de fréquence, on amène le niveau du signal synthétique à la valeur du seuil de masquage fréquentiel associé, de façon à obtenir un signal auxiliaire ;

(d) on additionne le signal auxiliaire au signal associé au haut-parleur de la voie considérée, les seuils de masquage fréquentiel ayant été précédemment calculés de façon à rendre le signal auxiliaire inaudible, et les signaux auxiliaires des N voies étant mutuellement décorrélés ;

(e) on fournit le signal obtenu précédemment en entrée à un filtre adaptatif dont les coefficients forment une estimation de la réponse impulsionnelle du chemin de couplage acoustique entre le haut-parleur et le microphone associés à la voie de signal sonore considérée ;

(f) on additionne les signaux obtenus en sortie des N filtres adaptatifs associés à chaque voie de microphone et on soustrait le signal résultant du signal reçu par le microphone associé à cette voie ;

(g) on calcule une erreur d'estimation à partir de la différence obtenue à l'issue de la soustraction précédente ;

5 (h) on corrige les coefficients des filtres adaptatifs associés à la voie de microphone considérée en fonction de l'erreur d'estimation associée.

2. Procédé selon la revendication 1, caractérisé en ce que, pour calculer chaque seuil de masquage fréquentiel,

10 (b1) on forme des blocs contenant chacun un nombre prédéterminé d'échantillons de signal sonore, deux blocs successifs se recouvrant mutuellement sur un nombre prédéterminé d'échantillons ;

(b2) on pondère les échantillons de chaque bloc par une fenêtre d'apodisation ;

15 (b3) on calcule la transformée de Fourier de chaque bloc ;

(b4) on divise le domaine des fréquences en plusieurs bandes critiques adjacentes ayant des fréquences inférieures et supérieures déterminées ;  
20 puis, pour chaque bloc et dans chaque bande critique :

(b5) on additionne l'énergie des différentes raies spectrales appartenant à la bande critique, de façon à obtenir la valeur, pour cette bande critique, d'une fonction de répartition de l'énergie ;

25 (b6) on calcule le produit de convolution de la fonction de répartition de l'énergie et d'une fonction d'étalement basilaire, obtenue à partir d'une table de consultation, de façon à obtenir un spectre étalé  $E_i$  ;

30 (b7) on calcule un indice de tonalité  $\alpha_i$  à partir des énergies des raies spectrales appartenant aux différentes bandes critiques ;

(b8) on calcule un facteur de correction  $O_i$  à partir de l'indice de tonalité calculé précédemment ;

35 (b9) on calcule un seuil de masquage fréquentiel  $T_i$  à partir du spectre étalé  $E_i$  et du facteur de correction  $O_i$ , défini comme suit :



$$10 \log_{10} T_i = 10 \log_{10} E_i - O_i - C_i$$

où  $C_i$  est un paramètre supplémentaire de correction de seuil calculé à partir de plusieurs caractéristiques des signaux sonores des N voies.

5           3. Procédé selon la revendication 1 ou 2, caracté-  
risé en ce que les caractéristiques servant à calculer ledit  
paramètre supplémentaire de correction de seuil  $C_i$  compren-  
nent le niveau respectif des signaux des N voies et un  
ensemble de valeurs de la fonction d'intercorrélation d'au  
10 moins certaines paires de ces signaux, ledit paramètre  
supplémentaire de correction  $C_i$  étant une fonction crois-  
sante des valeurs de cette fonction d'intercorrélation.

          4. Procédé selon la revendication 1 ou 2, caracté-  
risé en ce que les caractéristiques servant à calculer ledit  
15 paramètre supplémentaire de correction de seuil  $C_i$  compren-  
nent la somme des énergies contenues dans les diverses  
bandes critiques de chaque voie et le rapport des énergies  
par bande critique d'au moins certaines paires des différen-  
tes voies, ledit paramètre supplémentaire de correction  $C_i$   
20 étant d'autant plus important que la somme des énergies  
contenues dans les diverses bandes critiques est importante  
et que le rapport des énergies par bande critique d'une  
paire de voies est peu différent entre les différentes  
bandes critiques.

25           5. Annuleur d'écho à N voies de signal sonore ayant  
chacune un haut-parleur ( $30_1, \dots, 30_N$ ) et un microphone  
( $32_1, \dots, 32_N$ ) associés, N étant un entier supérieur ou égal  
à 1, comprenant :

30           - des moyens (34) de calcul de signaux auxiliaires,  
comportant :

          des moyens (48) de formation de blocs conte-  
nant chacun un nombre prédéterminé d'échantillons du  
signal sonore, deux blocs successifs se recouvrant  
mutuellement sur un nombre prédéterminé d'échantil-  
35 lons ;

des moyens (50) de pondération des échantillons de chaque bloc par une fenêtre d'apodisation, disposés en sortie des moyens de formation de blocs ;

5 des moyens (52) de calcul de transformée de Fourier, disposés en sortie des moyens de pondération ;

10 des moyens (54) de calcul des valeurs de fréquences inférieures et supérieures de bandes critiques adjacentes, ou une table de consultation contenant ces valeurs ;

15 des moyens (56) pour calculer une fonction de répartition de l'énergie sur les bandes critiques, la valeur, dans une bande critique donnée, de la fonction de répartition de l'énergie étant calculée en additionnant l'énergie des différentes raies spectrales appartenant à cette bande critique ;

20 une seconde table de consultation (58), contenant des valeurs représentant des fonctions d'étalement basilaire associées chacune à une bande critique donnée ;

25 des moyens (60) pour calculer un spectre étalé  $E_i$ , en calculant, pour une bande critique donnée, le produit de convolution de la fonction de répartition de l'énergie et de la fonction d'étalement associées à cette bande critique ;

des moyens (64) de calcul d'un facteur de correction  $O_i$  associé à une bande critique donnée ;

30 des moyens (66) de calcul d'un seuil de masquage fréquentiel  $T_i$  associé à une bande critique donnée, à partir du spectre étalé et du facteur de correction  $O_i$  associés à cette bande critique, le seuil de masquage fréquentiel  $T_i$  étant défini comme suit :

35 
$$10 \log_{10} T_i = 10 \log_{10} E_i - O_i - C_i$$

où  $C_1$  est un paramètre supplémentaire de correction de seuil ;

5 des moyens (68) de génération de signaux synthétiques ayant les caractéristiques spectrales d'un bruit blanc ;

10 des moyens (36) de contrôle, connectés aux N voies de signal sonore, pour calculer pour chaque bande critique ledit paramètre supplémentaire de correction de seuil  $C_1$  à partir de plusieurs caractéristiques des signaux sonores des N voies ;

des moyens (70) pour amener le niveau d'un signal synthétique à la valeur du seuil de masquage fréquentiel associé, de façon à obtenir un signal auxiliaire ;

15 des moyens (72) de calcul de transformée de Fourier inverse ;

des moyens de mémoire pour stocker le résultat du traitement des blocs successifs ;

20 des moyens (74) pour combiner le résultat du traitement d'un bloc avec le résultat du traitement du bloc précédent ;

25 des moyens (76) de lecture séquentielle reliés auxdits moyens de mémoire, pour faire passer la cadence des données de la cadence bloc à la cadence échantillon ;

N premiers moyens additionneurs ( $40_1, \dots, 40_N$ ) respectivement disposés sur les N voies de signal sonore, pour additionner sur chaque voie le signal sonore reçu et le signal auxiliaire associé ;

30 - N x N moyens de filtrage adaptatif ( $42_{1,1}, \dots, 42_{1,N}, \dots, 42_{N,1}, \dots, 42_{N,N}$ ), comprenant N moyens de filtrage adaptatif associés à chacune des N voies de microphone, et ayant chacun des coefficients qui forment une estimation de la réponse impulsionnelle du chemin de couplage acoustique  
35 entre le haut-parleur et le microphone associés à une des N voies de signal sonore ;

- des seconds moyens additionneurs ( $44_1, \dots, 44_N$ ), connectés en sortie des N moyens de filtrage adaptatif associés à chaque voie de microphone, pour additionner les signaux de sortie de ces N moyens de filtrage adaptatif ;

5       - N moyens soustracteurs ( $46_1, \dots, 46_N$ ), disposés chacun en sortie desdits seconds moyens additionneurs ( $44_1, \dots, 44_N$ ) et connectés respectivement aux microphones des N voies de signal sonore, pour soustraire sur chaque voie de microphone le signal obtenu en sortie desdits seconds moyens  
10       additionneurs ( $44_1, \dots, 44_N$ ) du signal reçu par le microphone de cette voie ;

- des moyens pour calculer sur chaque voie de microphone une erreur d'estimation à partir du résultat fourni par le moyen soustracteur connecté au microphone de  
15       cette voie ;

- des moyens pour corriger de façon itérative les coefficients respectifs des N moyens de filtrage adaptatif associés à chacune des N voies de microphone, en fonction de l'erreur d'estimation associée à chaque voie de microphone.

20       6. Dispositif selon la revendication 5, caractérisé en ce que les caractéristiques servant à calculer ledit paramètre supplémentaire de correction de seuil  $C_1$  comprennent le niveau respectif des signaux des N voies et un ensemble de valeurs de la fonction d'intercorrélation d'au  
25       moins certaines paires de ces signaux, ledit paramètre supplémentaire de correction  $C_1$  étant une fonction croissante des valeurs de cette fonction d'intercorrélation.

7. Dispositif selon la revendication 5, caractérisé en ce que les caractéristiques servant à calculer ledit  
30       paramètre supplémentaire de correction de seuil  $C_1$  comprennent la somme des énergies contenues dans les diverses bandes critiques de chaque voie et le rapport des énergies par bande critique d'au moins certaines paires des différentes voies, ledit paramètre supplémentaire de correction  $C_1$   
35       étant d'autant plus important que la somme des énergies contenues dans les diverses bandes critiques est importante

et que le rapport des énergies par bande critique d'une paire de voies est peu différent entre les différentes bandes critiques.

8. Dispositif selon la revendication 5, caractérisé en ce qu'il comprend en outre des moyens (62) de calcul d'un indice de tonalité  $\alpha_i$  à partir des énergies des raies spectrales appartenant aux différentes bandes critiques, lesdits moyens (64) de calcul du facteur de correction  $O_i$  calculant ledit facteur de correction  $O_i$  à partir dudit indice de tonalité  $\alpha_i$ .

9. Dispositif selon la revendication 8, caractérisé en ce que lesdits moyens (64) de calcul du facteur de correction  $O_i$  fournissent un facteur de correction  $O_i$  défini par :

15  $O_i = \max(SO, \alpha_i \cdot (k_1 + B_i) + (1 - \alpha_i) \cdot k_2)$   
 où  $\max(a, b)$  désigne la plus grande des valeurs a et b,  
 où  $SO$ ,  $k_1$  et  $k_2$  sont des paramètres de valeur prédéterminée en dB,  
 où  $\alpha_i$  est l'indice de tonalité associé à la bande critique  
 20 considérée, et  
 où  $B_i$  désigne la fréquence de la bande critique en Bark.

10. Dispositif selon la revendication 9, caractérisé en ce que  $SO = 24,5$  dB,  $k_1 = 14,5$  dB et  $k_2 = 5,5$  dB.

11. Dispositif selon la revendication 8, 9 ou 10, caractérisé en ce que les moyens (62) de calcul de l'indice de tonalité fournissent un indice de tonalité constant, identique pour toutes les bandes critiques et défini par :

$\alpha_i = \alpha = \min(SFM/SFM_{\max}, 1)$   
 où  $\min(a, b)$  désigne la plus petite des valeurs a et b,  
 30 où  $SFM_{\max}$  est un paramètre de valeur prédéterminée en dB associé à un signal sinusoïdal pur, et  
 où  $SFM = 10 \log_{10} G/A$ , où  $\log_{10}$  désigne le logarithme décimal,  $G$  désigne la moyenne géométrique de l'énergie sur un nombre prédéterminé de points de la transformée de Fourier et  $A$   
 35 désigne sa moyenne arithmétique sur le même nombre de points.

36

12. Dispositif selon la revendication 11, caracté-  
risé en ce que  $SFM_{max} = -60$  dB.

5

10

15

20

25

30

35

1/6

FIG. 1

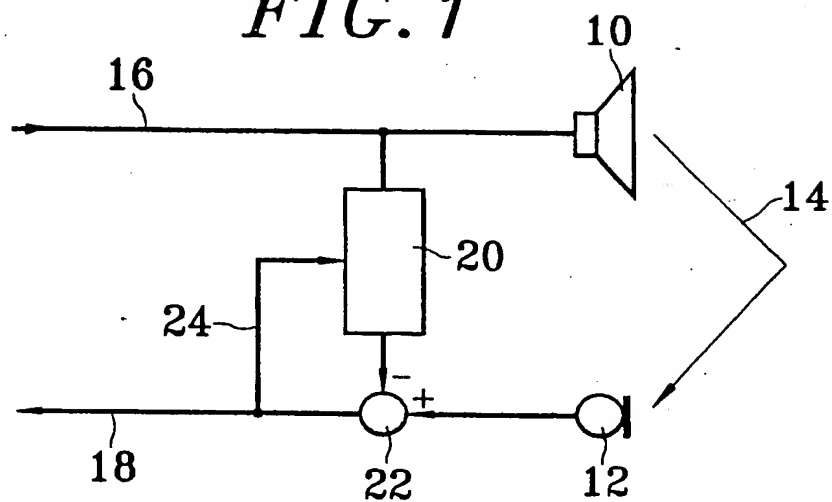
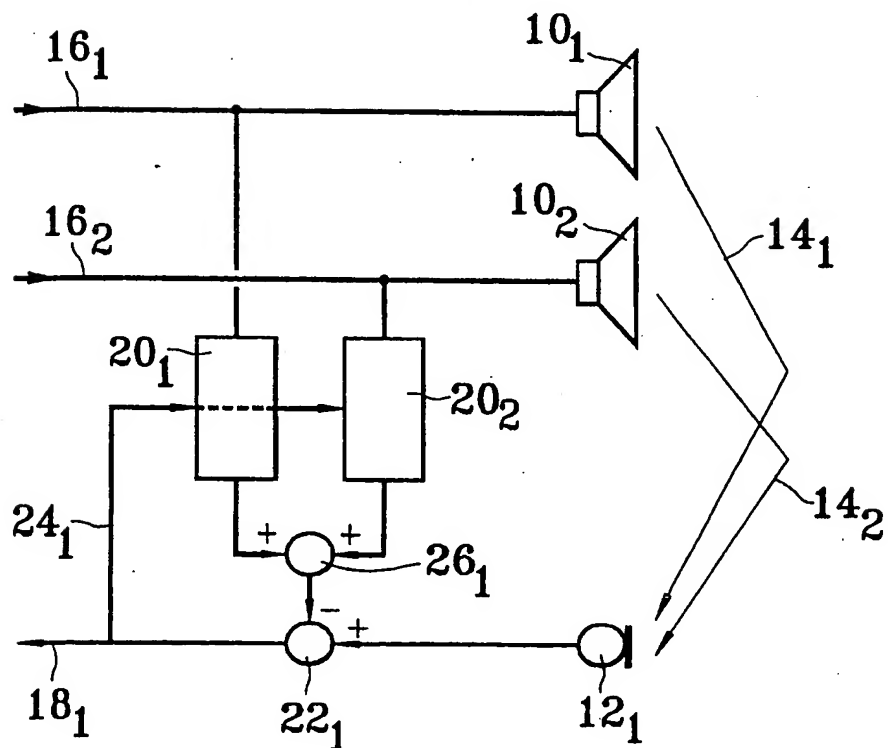
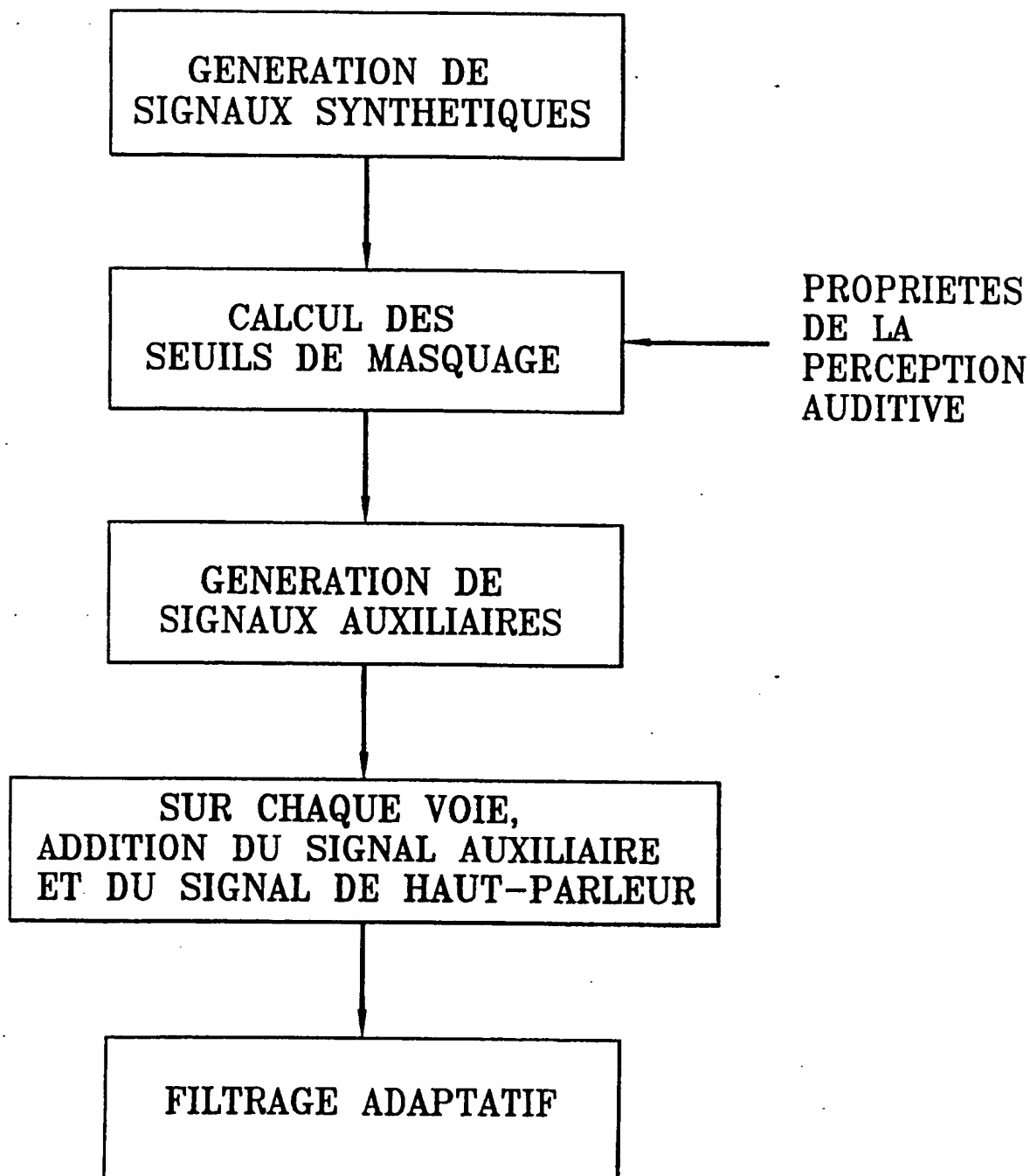


FIG. 2



2/6

*FIG. 3*



3/6

FIG. 4

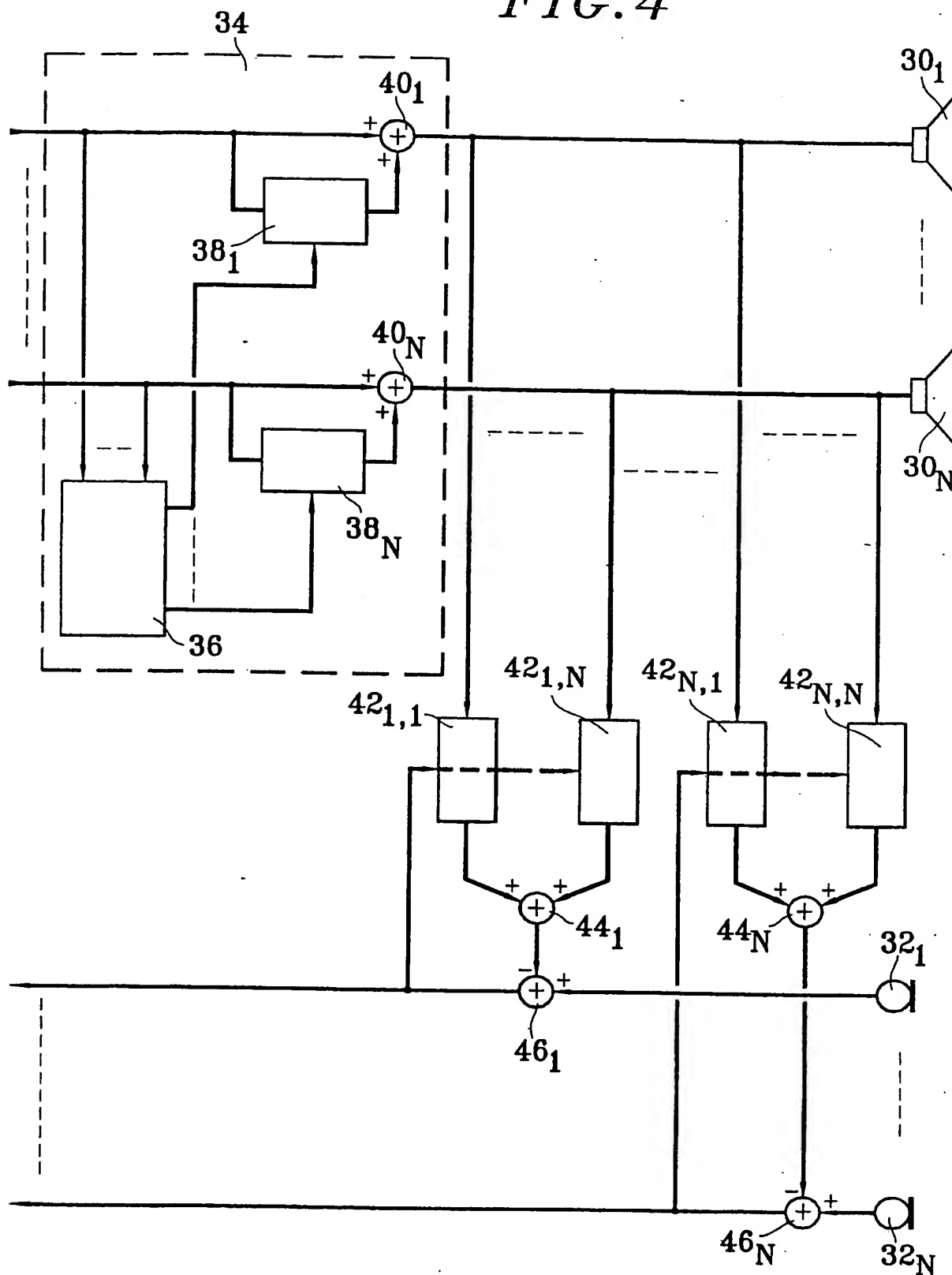
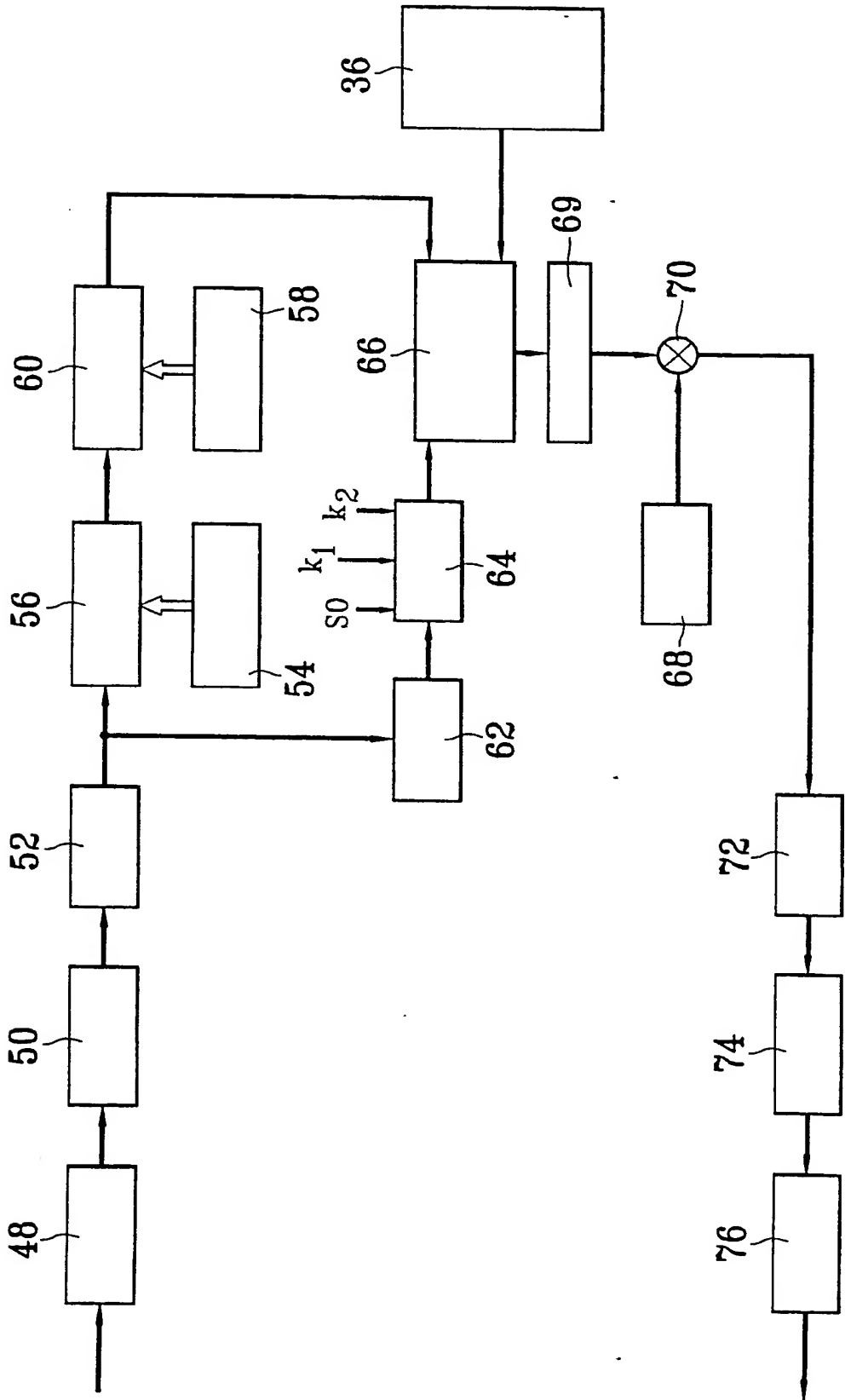
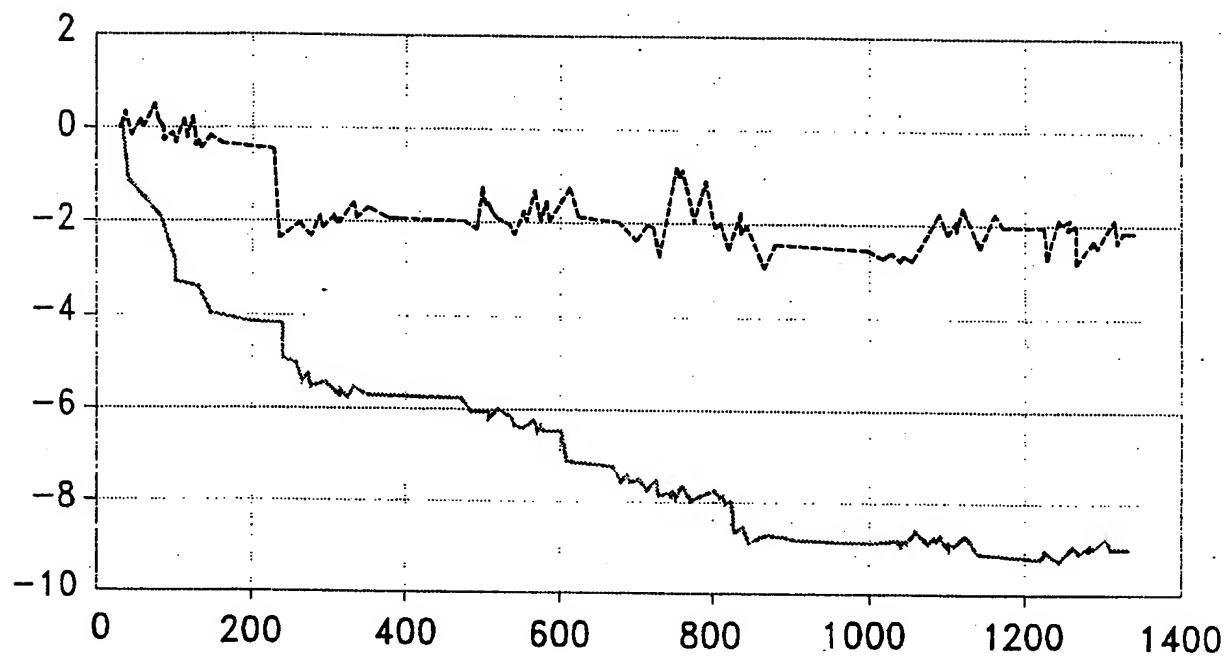
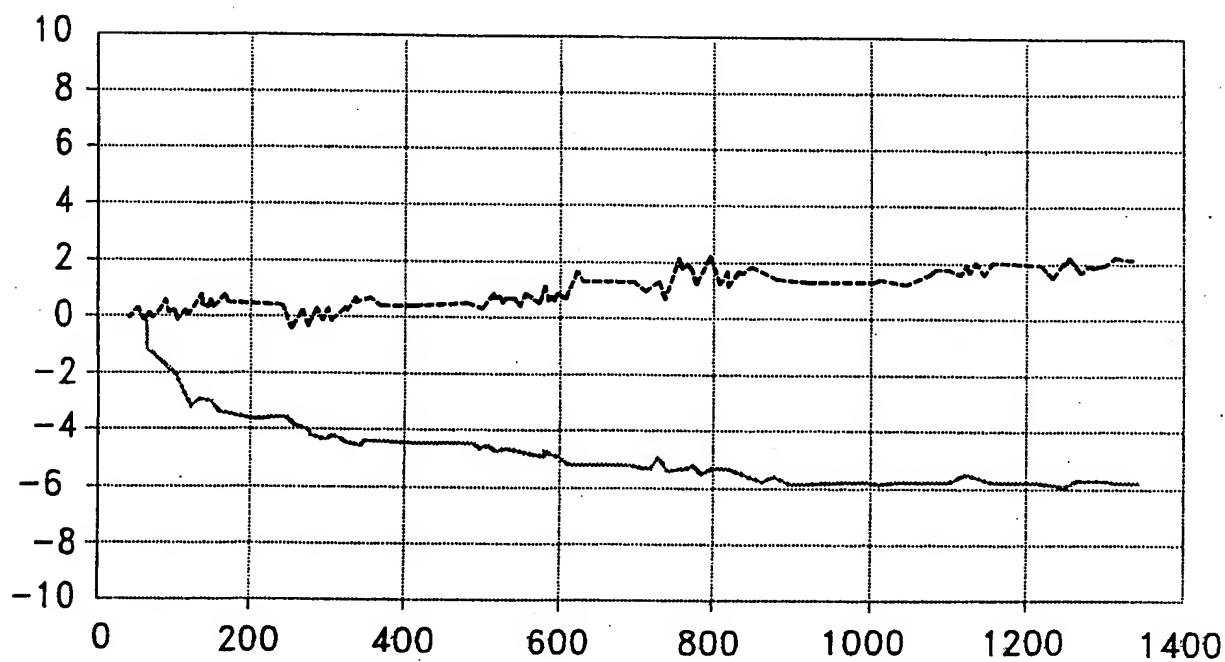


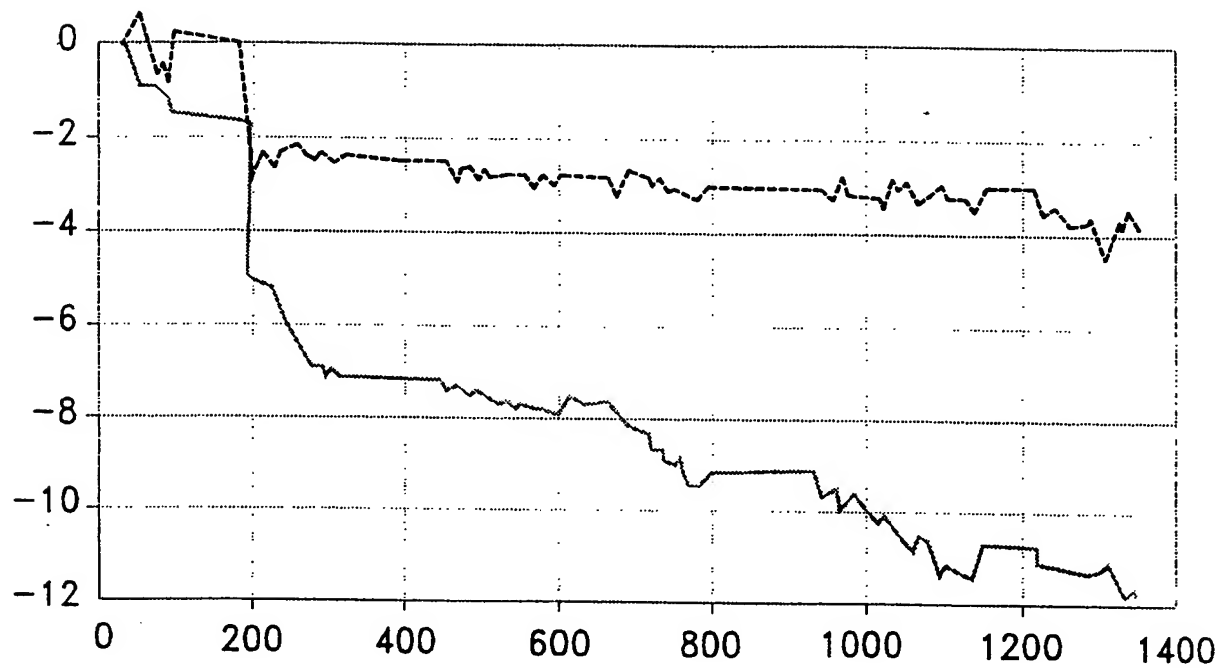
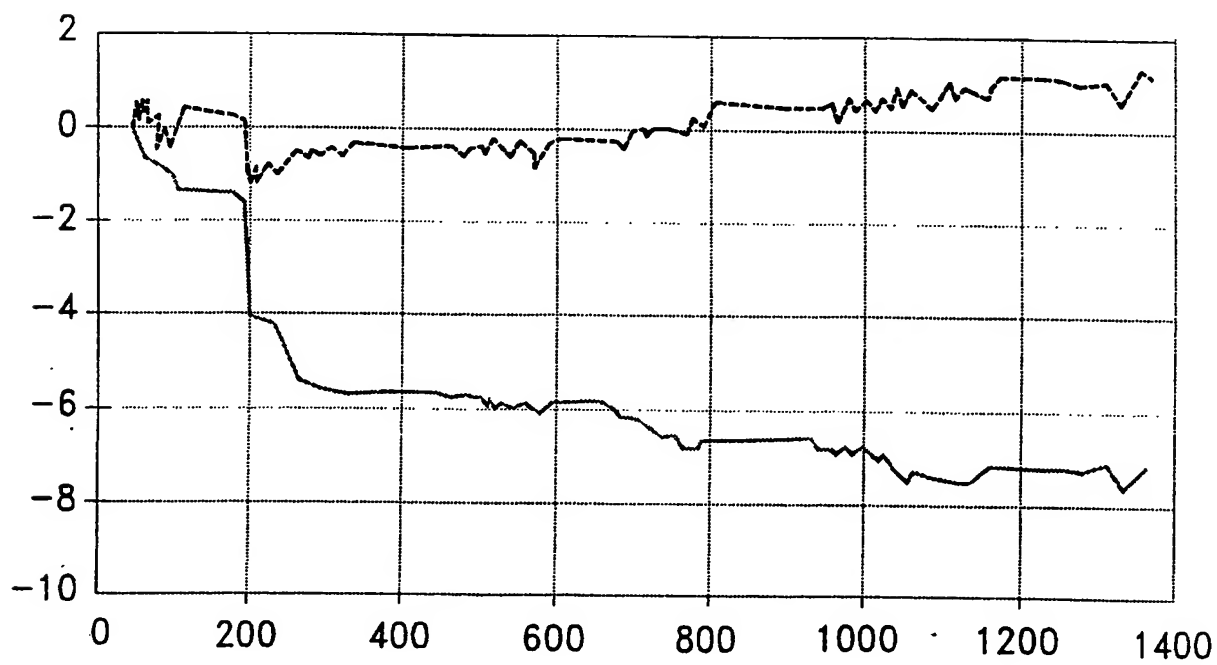
FIG.5



5/6

*FIG. 6a**FIG. 6b*

6/6

*FIG. 7a**FIG. 7b*

# INTERNATIONAL SEARCH REPORT

International Application No

PCT/FR 98/00757

**A. CLASSIFICATION OF SUBJECT MATTER**  
IPC 6 H04M9/08

According to International Patent Classification (IPC) or to both national classification and IPC

**B. FIELDS SEARCHED**

Minimum documentation searched (classification system followed by classification symbols)

IPC 6 H04M H04B

Documentation searched other than minimum documentation to the extent that such documents are included in the fields searched

Electronic data base consulted during the international search (name of data base and, where practical, search terms used)

**C. DOCUMENTS CONSIDERED TO BE RELEVANT**

Category *	Citation of document, with indication, where appropriate, of the relevant passages	Relevant to claim No.
A	EP 0 709 999 A (NIPPON TELEGRAPH & TELEPHONE) 1 May 1996 see the whole document	1-12
A	SONDHI M M ET AL: "STEREOPHONIC ACOUSTIC ECHO CANCELLATION - AN OVERVIEW OF THE FUNDAMENTAL PROBLEM" IEEE SIGNAL PROCESSING LETTERS, vol. 2, no. 8, August 1995, pages 148-151, XP000527174 see paragraph IV-B	1-12
A	EP 0 627 825 A (NIPPON ELECTRIC CO) 7 December 1994 see abstract	1-12

☐ Further documents are listed in the continuation of box C.

☒ Patent family members are listed in annex.

\* Special categories of cited documents:

"A" document defining the general state of the art which is not considered to be of particular relevance

"E" earlier document but published on or after the international filing date

"L" document which may throw doubts on priority claim(s) or which is cited to establish the publication date of another citation or other special reason (as specified)

"O" document referring to an oral disclosure, use, exhibition or other means

"P" document published prior to the international filing date but later than the priority date claimed

"T" later document published after the international filing date or priority date and not in conflict with the application but cited to understand the principle or theory underlying the invention

"X" document of particular relevance; the claimed invention cannot be considered novel or cannot be considered to involve an inventive step when the document is taken alone

"Y" document of particular relevance; the claimed invention cannot be considered to involve an inventive step when the document is combined with one or more other such documents, such combination being obvious to a person skilled in the art.

"&" document member of the same patent family

Date of the actual completion of the international search

18 September 1998

Date of mailing of the international search report

29/09/1998

Name and mailing address of the ISA

European Patent Office, P.B. 5818 Patentlaan 2  
NL - 2280 HV Rijswijk  
Tel. (+31-70) 340-2040, Tx. 31 651 epo nl,  
Fax: (+31-70) 340-3016

Authorized officer

Montalbano, F

# INTERNATIONAL SEARCH REPORT

Information on patent family members

International Application No

PCT/FR 98/00757

Patent document cited in search report	Publication date	Patent family member(s)	Publication date
EP 0709999 A	01-05-1996	JP 8181639 A	12-07-1996
		CA 2161358 A	27-04-1996
		US 5661813 A	26-08-1997
EP 0627825 A	07-12-1994	JP 6343051 A	13-12-1994
		JP 8004243 B	17-01-1996
		CA 2124662 A	01-12-1994
		US 5513265 A	30-04-1996

Form PCT/ISA/210 (patent family annex) (July 1992)

# RAPPORT DE RECHERCHE INTERNATIONALE

Demande Internationale No

PCT/FR 98/00757

A. CLASSEMENT DE L'OBJET DE LA DEMANDE  
CIB 6 H04M9/08

Selon la classification internationale des brevets (CIB) ou à la fois selon la classification nationale et la CIB

B. DOMAINES SUR LESQUELS LA RECHERCHE A PORTE

Documentation minimale consultée (système de classification suivi des symboles de classement)

CIB 6 H04M H04B

Documentation consultée autre que la documentation minimale dans la mesure où ces documents relèvent des domaines sur lesquels a porté la recherche

Base de données électronique consultée au cours de la recherche internationale (nom de la base de données, et si cela est réalisable, termes de recherche utilisés)

C. DOCUMENTS CONSIDERES COMME PERTINENTS

Catégorie *	Identification des documents cités, avec, le cas échéant, l'indication des passages pertinents	no. des revendications visées
A	EP 0 709 999 A (NIPPON TELEGRAPH & TELEPHONE) 1 mai 1996 voir le document en entier	1-12
A	SONDHI M M ET AL: "STEREOPHONIC ACOUSTIC ECHO CANCELLATION - AN OVERVIEW OF THE FUNDAMENTAL PROBLEM" IEEE SIGNAL PROCESSING LETTERS, vol. 2, no. 8, août 1995, pages 148-151, XP000527174 voir alinéa IV-B	1-12
A	EP 0 627 825 A (NIPPON ELECTRIC CO) 7 décembre 1994 voir abrégé	1-12

☐ Voir la suite du cadre C pour la fin de la liste des documents

☒ Les documents de familles de brevets sont indiqués en annexe

\* Catégories spéciales de documents cités:

"A" document définissant l'état général de la technique, non considéré comme particulièrement pertinent

"E" document antérieur, mais publié à la date de dépôt international ou après cette date

"L" document pouvant jeter un doute sur une revendication de priorité ou cité pour déterminer la date de publication d'une autre citation ou pour une raison spéciale (telle qu'indiquée)

"O" document se référant à une divulgation orale, à un usage, à une exposition ou tous autres moyens

"P" document publié avant la date de dépôt international, mais postérieurement à la date de priorité revendiquée

"T" document ultérieur publié après la date de dépôt international ou la date de priorité et n'appartenant pas à l'état de la technique pertinent, mais cité pour comprendre le principe ou la théorie constituant la base de l'invention

"X" document particulièrement pertinent; l'invention revendiquée ne peut être considérée comme nouvelle ou comme impliquant une activité inventive par rapport au document considéré isolément

"Y" document particulièrement pertinent; l'invention revendiquée ne peut être considérée comme impliquant une activité inventive lorsque le document est associé à un ou plusieurs autres documents de même nature, cette combinaison étant évidente pour une personne du métier

"&" document qui fait partie de la même famille de brevets

Date à laquelle la recherche internationale a été effectivement achevée

18 septembre 1998

Date d'expédition du présent rapport de recherche internationale

29/09/1998

Nom et adresse postale de l'administration chargée de la recherche internationale  
Office Européen des Brevets, P.B. 5818 Patentlaan 2  
NL - 2280 HV Rijswijk  
Tel. (+31-70) 340-2040, Tx. 31 651 epo nl,  
Fax: (+31-70) 340-3016

Fonctionnaire autorisé

Montalbano, F

# RAPPORT DE RECHERCHE INTERNATIONALE

Renseignements relatifs aux membres de familles de brevets

Demande internationale No

PCT/FR 98/00757

Document brevet cité au rapport de recherche	Date de publication	Membre(s) de la famille de brevet(s)	Date de publication
EP 0709999 A	01-05-1996	JP 8181639 A	12-07-1996
		CA 2161358 A	27-04-1996
		US 5661813 A	26-08-1997
EP 0627825 A	07-12-1994	JP 6343051 A	13-12-1994
		JP 8004243 B	17-01-1996
		CA 2124662 A	01-12-1994
		US 5513265 A	30-04-1996